



LANDESSTELLE FÜR BAUTECHNIK

Braustraße 2, 04107 Leipzig
Telefon: (0341) 977 3710
Telefax: (0341) 977 3999

GZ: L37-2533/9/32

Prüfbericht (Typenprüfung)

Prüfbericht Nr.: T19-065

vom: 01.08.2019

Gegenstand: **Stahlkassettenprofile der Firmenbezeichnung:
DOMICO Typ 130/600 und DOMICO Typ 145/600**

Antragsteller: **DOMICO Dach-, Wand- und Fassadensysteme KG
Salzburger Straße 10
A-4870 Vöcklamarkt**

Planer: wie Antragsteller

Hersteller: wie Antragsteller

Geltungsdauer bis: 31.08.2024



Dieser Prüfbericht umfasst 3 Seiten und 15 Anlagen, die Bestandteil dieses Prüfberichtes sind.



* 2 0 1 9 / 5 7 4 2 4 9 *

1. Allgemeine Bestimmungen

- 1.1. Die typengeprüften Bauvorlagen können anstelle von im Einzelfall zu prüfenden Nachweisen der Standsicherheit dem Bauantrag beigelegt werden.
- 1.2. Die Typenprüfung befreit nicht von der Verpflichtung, für jedes Bauvorhaben eine Genehmigung einzuholen, soweit gesetzliche Bestimmungen hiervon nicht befreien.
- 1.3. Die Ausführungen haben sich streng an die geprüften Pläne und an die Bestimmungen dieses Prüfberichtes zu halten. Abweichungen hiervon sind nur zulässig, wenn sie die Zustimmung im Zuge einer Einzelprüfung gefunden haben.
- 1.4. Die typengeprüften Unterlagen dürfen nur vollständig mit dem Prüfbericht und den dazugehörigen Anlagen verwendet oder veröffentlicht werden. In Zweifelsfällen sind die bei der Landesstelle für Bautechnik befindlichen geprüften Unterlagen maßgebend.
- 1.5. Die Geltungsdauer dieser Typenprüfung kann auf Antrag jeweils um bis zu fünf Jahren verlängert werden. Der nächste Sichtvermerk durch die Landesstelle für Bautechnik ist dann spätestens am **31.08.2024** erforderlich.
- 1.6. Der Prüfbericht kann in begründeten Fällen, wie z. B. Änderungen Technischer Baubestimmungen oder wenn neue technische Erkenntnisse dies erfordern, entschädigungslos geändert oder zurückgezogen werden.
- 1.7. Die baustatische Typenprüfung gilt unbeschadet der Rechte Dritter.
- 1.8. Die Typenprüfung berücksichtigt den derzeitigen Stand der Erkenntnisse. Eine Aussage über die Bewährung des Gegenstandes dieser Typenprüfung ist damit nicht verbunden.

2. Konstruktionsbeschreibung

Stahlkassettenprofile der Firmenbezeichnung DOMICO Typ 145/600 und DOMICO Typ 130/600 aus Flacherzeugnissen gemäß DIN EN 10346 Tabelle 8. Die rechnerische Blechkerndicke beträgt $t_N -0,04$ mm.

3. Zutreffende Technischen Baubestimmungen

DIN EN 1993-1-1; Eurocode 3: Bemessung und Konstruktion von Stahlbauten - Teil 1-1: Allgemeine Bemessungsregeln und Regeln für den Hochbau

DIN EN 1993-1-1/NA; Nationaler Anhang - National festgelegte Parameter - Eurocode 3: Bemessung und Konstruktion von Stahlbauten - Teil 1-1: Allgemeine Bemessungsregeln und Regeln für den Hochbau

DIN EN 1993-1-3; Eurocode 3: Bemessung und Konstruktion von Stahlbauten - Teil 1-3: Allgemeine Regeln - Ergänzende Regeln für kaltgeformte Bauteile und Bleche

DIN EN 1993-1-3/NA; Nationaler Anhang - National festgelegte Parameter - Eurocode 3: Bemessung und Konstruktion von Stahlbauten - Teil 1-3: Allgemeine Regeln - Ergänzende Regeln für kaltgeformte dünnwandige Bauteile und Bleche

DIN EN 1993-1-5; Eurocode 3: Bemessung und Konstruktion von Stahlbauten - Teil 1-5: Plattenförmige Bauteile

DIN EN 1993-1-5/NA; Nationaler Anhang - National festgelegte Parameter - Eurocode 3: Bemessung und Konstruktion von Stahlbauten - Teil 1-5: Plattenförmige Bauteile



4. Geprüfte Unterlagen

Formblätter (Typenblätter) zu den Profilen gemäß Tabelle:

Anlage Nr.:	Profil:	$f_{y,k}$ [N/mm ²]	Blechdicken [mm]
1.1-1.4	DOMICO Typ 130/600	350	0,75 bis 1,50
1.5-1.8	DOMICO Typ 145/600	350	0,75 bis 1,50

Die Anlagen 2 bis 8 dienen der Erläuterung.

5. Prüfergebnis

- 5.1. Die unter Ziffer 4 aufgeführten Unterlagen wurden in baustatischer Hinsicht geprüft.
- 5.2. Sonstige bauordnungsrechtliche oder andere behördliche Anforderungen waren nicht Gegenstand der Prüfung.
- 5.3. Der Gegenstand der Typenprüfung entspricht den unter Ziffer 3 aufgeführten Technischen Baubestimmungen.
- 5.4. Die Werte in den Formblättern gelten, wenn für die Blechdicken die Minustoleranzen nach DIN EN 10143:2006, Tabelle 2 „Eingeschränkte Grenzabmaße (S)“ eingehalten werden.
- 5.5. Unter Beachtung dieses Prüfberichtes und den Vorgaben nach den geprüften Unterlagen bestehen gegen eine Ausführung und Anwendung der Trapezprofile in den vorgegebenen Grenzen aus baustatischer Sicht keine Bedenken.

6. Rechtsgrundlagen

Die Landesdirektion Sachsen - Landesstelle für Bautechnik - ist gemäß § 32 DVO-SächsBO¹ Prüfant zur Typenprüfung; zur Typenprüfung von Standsicherheitsnachweisen siehe die jeweilige Landesbauordnung und § 66 Abs. 4 Satz 3 der Musterbauordnung (Fassung 2002).

Leiter

Dr.-Ing. H.-A. Biegholdt



Bearbeiter

Christian Kutzer

Anlagen: Siehe unter Ziffer 4

¹ DVOSächsBO vom 02.09.2004 (SächsGVBl. S. 427), in der zum Zeitpunkt der Erstellung dieses Prüfberichtes geltenden Fassung

dreischalige Dach- und Wandkonstruktion **Domico 3S 180/90**
 mit Stahlkassetten **Typ K 130 / 600**
 und Außenschale **Domitec, $t_N \geq 0,63$ mm**
 Querschnitts- und Bemessungswerte nach EN 1993-1-3

Anlage 1.1 zum Prüfbericht

Als Typenentwurf

in bautechnischer Hinsicht geprüft.

Prüfbericht – Nr. T19-065

Landesdirektion Sachsen

Landesstelle für Bautechnik

Leipzig, 01.08.2019

FREISTAAT
SACHSEN

Prof. Dr. ...
LEITUNG DER LANDESDIREKTION SACHSEN

Leiter

Bearbeiter

Stahl-Kassettenprofil in
Maße siehe Anlage 2

Positivlage



Streckgrenze des Stahlkerns $f_{y,k} = 350$ N/mm²

Abstand der Distanzprofile $a_1 \leq 1170$ mm

Charakteristische Werte der Widerstandsgrößen für nach unten gerichteter und andrückender Flächenlast ¹⁾

Nennblechdicke	Feldmoment	Endauflager	Elastisch aufnehmbare Schnittgrößen an Zwischenauflagern ²⁾				Reststützmomente ³⁾		
			$M_{Rk,B}^0$	$R_{Rk,B}^0$	max. Stützmoment	max. Zwischenauflagerkraft	M_{Rk}	$\min l $	$\max l $
t_N [mm]	$M_{Rk,F}$ [kNm/m]	$R_{Rk,A}$ [kN/m]	$M_{Rk,B}^0$ [kNm/m]	$R_{Rk,B}^0$ [kN/m]	$M_{Rk,B}$ [kNm/m]	$R_{Rk,B}$ [kN/m]	$\min l $ [m]	$\max l $ [m]	max $M_{R,k}$ [kNm/m]
4) $b_A + \ddot{u} = 40$ mm			5) Zwischenauflegerbreite $b_R = 160$ mm; $e = 2$						
0,75	6,23	7,61	4,20	15,9	3,81	11,5	3,30	4,23	1,91
0,88	8,51	10,3	5,66	23,3	5,08	16,4	3,11	4,05	2,76
1,00	10,4	12,1	6,32	32,5	5,91	21,1	2,34	3,35	3,56
1,13	11,8	13,7	7,18	36,7	6,72	24,1	2,34	3,35	4,04
1,25	13,1	15,3	7,97	40,8	7,45	26,7	2,34	3,35	4,49
1,50	15,8	18,4	9,62	49,2	8,99	32,2	2,34	3,35	5,41
4) 5) $b_A + \ddot{u} = 40$ mm			6) Zwischenauflegerbreite $b_R \geq 300$ mm; $e = 2$						
0,75			4,06	22,6	3,80	13,0	2,64	3,89	2,76
0,88			6,14	36,3	5,58	20,2	2,52	3,78	3,74
1,00			6,53	59,6	6,15	25,5	1,83	3,21	4,99
1,13			7,41	65,6	6,98	29,0	1,83	3,21	5,67
1,25			8,23	72,8	7,75	32,2	1,83	3,21	6,29
1,50			9,93	87,9	9,35	38,8	1,83	3,21	7,59

Maßgebende Querschnittswerte

Grenzstützweiten ⁸⁾

Charakteristische Werte der Widerstandsgrößen bei nach oben gerichteter und abhebender Flächenlast ⁹⁾

Nennblechdicke	Eigenlast	Trägheitsmomente ⁷⁾		Querschnittsfläche	l_{gr} Einfeldträger		Feldmoment	Endauflager	Zwischenaufleger ²⁾ , $e = 1$			
		$I_{eRk,F}^+$	$I_{eRk,F}^-$		während der Montage	nach der Montage			$M_{Rk,F}$	$R_{Rk,A}$	$M_{Rk,B}^0$	$R_{Rk,B}^0$
t_N [mm]	g [kN/m ²]	$I_{eRk,F}^+$ [cm ⁴ /m]	$I_{eRk,F}^-$ [cm ⁴ /m]	A_g [cm ² /m]	Montage [m]	Montage [m]	$M_{Rk,F}$ [kNm/m]	$R_{Rk,A}$ [kN/m]	$M_{Rk,B}^0$ [kNm/m]	$R_{Rk,B}^0$ [kN/m]	$M_{Rk,B}$ [kNm/m]	$R_{Rk,B}$ [kN/m]
0,75	0,171	340	88,9	11,6	4,66	4,66	3,58	5,24	5,57	36,0	6,37	12,5
0,88	0,188	401	130	13,7	5,37	5,37	4,99	7,15	7,00	78,0	8,59	17,5
1,00	0,204	458	160	15,7	5,74	5,74	6,34	7,92	11,9	34,5	11,3	20,4
1,13	0,220	521	182	17,8	6,51	6,51	7,20	8,99	13,5	39,2	12,8	23,2
1,25	0,236	578	202	19,7	6,94	6,94	7,99	9,98	15,0	43,5	14,2	25,8
1,50	0,269	697	243	23,8	8,38	8,38	9,64	12,00	18,1	52,5	17,1	31,0

- 1) An den Stellen von Linienlasten quer zur Spannrichtung und von Einzellasten ist der Nachweis nicht mit den Feldmoment $M_{Rk,F}$ sondern mit den Stützmoment $M_{Rk,B}$ für die entgegengesetzte Lastrichtung zu führen.
- 2) M/R Interaktion: $M_{Ed} / M_{Rk,B}^0 / \gamma_M + (F_{Ed} / R_{Rk,B} / \gamma_M)^0 \leq 1$
- 3) Sind keine Werte für die Reststützmomente angegeben, ist beim Tragsicherheitsnachweis $M_{R,k} = 0$ zu setzen oder für $M_{Rk,B}$ ein Nachweis mit $\gamma_M = 1,1$ nach der Elastizitätstheorie zu führen. ($l =$ kleinere der benachbarten Stützweiten)
- 4) $b_A + \ddot{u} =$ Endauflagerbreite + Profilüberstand.
- 5) Für kleinere Zwischenauflegerbreiten b_B als angegeben müssen die charakteristischen Werte der Widerstandsgrößen linear im entsprechenden Verhältnis reduziert werden. Für $b_B < 10$ mm, z.B. bei Rohren, dürfen die Werte für $b_B = 10$ mm eingesetzt werden.
- 6) Bei Auflagerbreiten, die zwischen den aufgeführten Auflagerbreiten liegen, dürfen die aufnehmbaren Tragfähigkeitswerte jeweils linear interpoliert werden.
- 7) Effektive Trägheitsmomente für Lastrichtung nach unten (+) bzw. nach oben (-)
- 8) Maximale Stützweiten, bis zu denen die Kassettenprofiltafel ohne lastverteilende Maßnahmen begangen werden kann.
- 9) Verbindung mit der Unterkonstruktion in jedem anliegenden Gurt mit mindestens 2 Verbindungselementen.

dreischalige Dach- und Wandkonstruktion **Domico 3S 180/90**
 mit Stahlkassetten **Typ K 130 / 600**
 und Außenschale **Planum, $t_N \geq 1,00$ mm**
 Querschnitts- und Bemessungswerte nach EN 1993-1-3

Stahl-Kassettenprofil in **Positivlage**
 Maße siehe Anlage 2



Anlage 1.2 zum Prüfbericht

Als Typentwurf

in bautechnischer Hinsicht geprüft.

Prüfbericht – Nr. T19-065

Landesdirektion Sachsen

Landesstelle für Bautechnik

Leipzig, 01.08.2019



Leiter Bearbeiter

Streckgrenze des Stahlkerns $f_{y,k} = 350$ N/mm²

Abstand der Distanzprofile $a_1 \leq 1170$ mm

Charakteristische Werte der Widerstandsgrößen für nach unten gerichteter und andrückender Flächenlast ¹⁾

Nennblechdicke t_N [mm]	Feldmoment $M_{Rk,F}$ [kNm/m]	Endauflager $R_{Rk,A}$ [kN/m]	Elastisch aufnehmbare Schnittgrößen an Zwischenauflagern ²⁾				Reststützmomente ³⁾			
			$M_{Rk,B}^0$ [kNm/m]	$R_{Rk,B}^0$ [kN/m]	max. Stützmoment $M_{Rk,B}$ [kNm/m]	max. Zwischenauflagerkraft $R_{Rk,B}$ [kN/m]	$M_{R,k} = 0$ für $l < \min l$ $M_{R,k} = \frac{l - \min l}{\max l - \min l} \cdot \max M_{R,k}$ $M_{R,k} = \max M_{R,k}$ für $l < \max l$			
							min l [m]	max l [m]	max $M_{R,k}$ [kNm/m]	
^{4) b_A + ü = 40 mm}			^{6) Zwischenauflagerbreite $b_R = 160$ mm; $e = 2$}							
0,75	6,23	7,61	4,20	15,9	3,81	11,5	3,30	4,23	1,91	
0,88	8,51	10,3	5,66	23,3	5,08	16,4	3,11	4,05	2,76	
1,00	10,4	12,1	6,32	32,5	5,91	21,1	2,34	3,35	3,56	
1,13	11,8	13,7	7,18	36,7	6,72	24,1	2,34	3,35	4,04	
1,25	13,1	15,3	7,97	40,8	7,45	26,7	2,34	3,35	4,49	
1,50	15,8	18,4	9,62	49,2	8,99	32,2	2,34	3,35	5,41	
^{4) b_A + ü = 40 mm}			^{6) Zwischenauflagerbreite $b_R \geq 300$ mm; $e = 2$}							
0,75			4,06	22,6	3,80	13,0	2,64	3,89	2,76	
0,88			6,14	36,3	5,58	20,2	2,52	3,78	3,74	
1,00			6,53	59,6	6,15	25,5	1,83	3,21	4,99	
1,13			7,41	65,6	6,98	29,0	1,83	3,21	5,67	
1,25			8,23	72,8	7,75	32,2	1,83	3,21	6,29	
1,50			9,93	87,9	9,35	38,8	1,83	3,21	7,59	

Maßgebende Querschnittswerte					Grenzstützweiten ⁸⁾		Charakteristische Werte der Widerstandsgrößen bei nach oben gerichteter und abhebender Flächenlast ⁹⁾					
Nennblechdicke t_N [mm]	Eigenlast g [kN/m ²]	Trägheitsmomente ⁷⁾		Querschnittsfläche A_g [cm ² /m]	I_{gr} Einfeldträger		Feldmoment $M_{Rk,F}$ [kNm/m]	Endauflager $R_{Rk,A}$ [kN/m]	Zwischenauflager ²⁾ , $e = 1$			
		$I_{eRk,F}^+$ [cm ⁴ /m]	$I_{eRk,F}^-$ [cm ⁴ /m]		während der Montage [m]	nach der Montage [m]			$M_{Rk,B}^0$ [kNm/m]	$R_{Rk,B}^0$ [kN/m]	$M_{Rk,B}$ [kNm/m]	$R_{Rk,B}$ [kN/m]
0,75	0,171	340	88,9	11,6	4,66	4,66	3,58	5,24	5,57	36,0	6,37	12,5
0,88	0,188	401	130	13,7	5,37	5,37	4,99	7,15	7,00	78,0	8,59	17,5
1,00	0,204	458	160	15,7	5,74	5,74	6,34	7,92	11,9	34,5	11,3	20,4
1,13	0,220	521	182	17,8	6,51	6,51	7,20	8,99	13,5	39,2	12,8	23,2
1,25	0,236	578	202	19,7	6,94	6,94	7,99	9,98	15,0	43,5	14,2	25,8
1,50	0,269	697	243	23,8	8,38	8,38	9,64	12,00	18,1	52,5	17,1	31,0

- An den Stellen von Linienlasten quer zur Spannrichtung und von Einzellasten ist der Nachweis nicht mit den Feldmoment $M_{Rk,F}$ sondern mit den Stützmoment $M_{Rk,B}$ für die entgegengesetzte Lastrichtung zu führen.
- M/R Interaktion: $M_{Ed} / M_{Rk,B}^0 / \gamma_M + (F_{Ed} / R_{Rk,B} / \gamma_M)^2 \leq 1$
- Sind keine Werte für die Reststützmomente angegeben, ist beim Tragsicherheitsnachweis $M_{R,k} = 0$ zu setzen oder für $M_{Rk,B}$ ein Nachweis mit $\gamma_M = 1,1$ nach der Elastizitätstheorie zu führen. (l = kleinere der benachbarten Stützweiten)
- $b_A + \ddot{u}$ = Endauflagerbreite + Profilüberstand.
- Für kleinere Zwischenauflagerbreiten b_B als angegeben müssen die charakteristischen Werte der Widerstandsgrößen linear im entsprechenden Verhältnis reduziert werden. Für $b_B < 10$ mm, z.B. bei Rohren, dürfen die Werte für $b_B = 10$ mm eingesetzt werden.
- Bei Auflagerbreiten, die zwischen den aufgeführten Auflagerbreiten liegen, dürfen die aufnehmbaren Tragfähigkeitswerte jeweils linear interpoliert werden.
- Effektive Trägheitsmomente für Lastrichtung nach unten (+) bzw. nach oben (-)
- Maximale Stützweiten, bis zu denen die Kassettenprofiltafel ohne lastverteilende Maßnahmen begangen werden kann.
- Verbindung mit der Unterkonstruktion in jedem anliegenden Gurt mit mindestens 2 Verbindungselementen.

dreischalige Dach- und Wandkonstruktion **Domico 3S 90/45**
 mit Stahlkassetten **Typ K 130 / 600**
 und Außenschale **Domitec, $t_N \geq 0,63$ mm**
 Querschnitts- und Bemessungswerte nach EN 1993-1-3

Anlage 1.3 zum Prüfbericht

Als Typenentwurf

in bautechnischer Hinsicht geprüft.

Prüfbericht – Nr. T19-065

Landesdirektion Sachsen

Landesstelle für Bautechnik

Leipzig, 01.09.2019

Stahl-Kassettenprofil in **Positivlage**
 Maße siehe Anlage 2



Leiter

Bearbeiter

Streckgrenze des Stahlkerns $f_{y,k} = 350$ N/mm²

Abstand der Distanzprofile $a_1 \leq 1500$ mm

Charakteristische Werte der Widerstandsgrößen für nach unten gerichteter und andrückender Flächenlast ¹⁾

Nennblechdicke t_N [mm]	Feldmoment $M_{Rk,F}$ [kNm/m]	Endauflager $R_{Rk,A}$ [kN/m]	Elastisch aufnehmbare Schnittgrößen an Zwischenauflagern ²⁾				Reststützmomente ³⁾		
			$M^0_{Rk,B}$ [kNm/m]	$R^0_{Rk,B}$ [kN/m]	max. Stützmoment $M_{Rk,B}$ [kNm/m]	max. Zwischenauflagerkraft $R_{Rk,B}$ [kN/m]	$M_{R,k} = 0$ für $l < \min l$ $M_{R,k} = \frac{l - \min l}{\max l - \min l} \cdot \max M_{R,k}$ $M_{R,k} = \max M_{R,k}$ für $l < \max l$		
							min l [m]	max l [m]	max $M_{R,k}$ [kNm/m]
⁴⁾ $b_A + \ddot{u} = 40$ mm			⁶⁾ Zwischenauflagerbreite $b_R = 160$ mm; $e = 2$						
0,75	4,41	7,61	4,20	15,9	3,81	11,5	3,30	4,23	1,91
0,88	6,02	10,3	5,66	23,3	5,08	16,4	3,11	4,05	2,76
1,00	7,34	12,1	6,32	32,5	5,91	21,1	2,34	3,35	3,56
1,13	8,34	13,7	7,18	36,7	6,72	24,1	2,34	3,35	4,04
1,25	9,25	15,3	7,97	40,8	7,45	26,7	2,34	3,35	4,49
1,50	11,2	18,4	9,62	49,2	8,99	32,2	2,34	3,35	5,41
⁴⁾⁶⁾ $b_A + \ddot{u} = 40$ mm			⁶⁾ Zwischenauflagerbreite $b_R \geq 300$ mm; $e = 2$						
0,75			4,06	22,6	3,80	13,0	2,64	3,89	2,76
0,88			6,14	36,3	5,58	20,2	2,52	3,78	3,74
1,00			6,53	59,6	6,15	25,5	1,83	3,21	4,99
1,13			7,41	65,6	6,98	29,0	1,83	3,21	5,67
1,25			8,23	72,8	7,75	32,2	1,83	3,21	6,29
1,50			9,93	87,9	9,35	38,8	1,83	3,21	7,59

Maßgebende Querschnittswerte

Grenzstützweiten ⁸⁾

Charakteristische Werte der Widerstandsgrößen bei nach oben gerichteter und abhebender Flächenlast ⁹⁾

Nennblechdicke t_N [mm]	Eigenlast g [kN/m ²]	Trägheitsmomente ⁷⁾		Querschnittsfläche A_g [cm ² /m]	I_{gr} Einfeldträger		Feldmoment $M_{Rk,F}$ [kNm/m]	Endauflager $R_{Rk,A}$ [kN/m]	Zwischenauflager ²⁾ , $e = 1$			
		$I^+_{eRk,F}$ [cm ⁴ /m]	$I^-_{eRk,F}$ [cm ⁴ /m]		während der Montage [m]	nach der Montage [m]			$M^0_{Rk,B}$ [kNm/m]	$R^0_{Rk,B}$ [kN/m]	$M_{Rk,B}$ [kNm/m]	$R_{Rk,B}$ [kN/m]
0,75	0,171	306	88,9	11,6	4,66	4,66	3,58	5,24	5,57	36,0	4,51	8,84
0,88	0,188	361	130	13,7	5,37	5,37	4,99	7,15	7,00	78,0	6,08	12,4
1,00	0,204	413	160	15,7	5,74	5,74	6,34	7,92	11,9	34,5	7,98	14,4
1,13	0,220	469	182	17,8	6,51	6,51	7,20	8,99	13,5	39,2	9,06	16,4
1,25	0,236	521	202	19,7	6,94	6,94	7,99	9,98	15,0	43,5	10,1	18,2
1,50	0,269	628	243	23,8	8,38	8,38	9,64	12,0	18,1	52,5	12,1	21,9

- 1) An den Stellen von Linienlasten quer zur Spannrichtung und von Einzellasten ist der Nachweis nicht mit den Feldmoment $M_{Rk,F}$ sondern mit den Stützmoment $M_{Rk,B}$ für die entgegengesetzte Lastrichtung zu führen.
- 2) M/R Interaktion: $M_{Ed} / M^0_{Rk,B} / \gamma_M + (F_{Ed} / R_{Rk,B} / \gamma_M)^2 \leq 1$
- 3) Sind keine Werte für die Reststützmomente angegeben, ist beim Tragsicherheitsnachweis $M_{R,k} = 0$ zu setzen oder für $M_{Rk,B}$ ein Nachweis mit $\gamma_M = 1,1$ nach der Elastizitätstheorie zu führen. (l = kleinere der benachbarten Stützweiten)
- 4) $b_A + \ddot{u}$ = Endauflagerbreite + Profilüberstand.
- 5) Für kleinere Zwischenauflagerbreiten b_B als angegeben müssen die charakteristischen Werte der Widerstandsgrößen linear im entsprechenden Verhältnis reduziert werden. Für $b_B < 10$ mm, z.B. bei Rohren, dürfen die Werte für $b_B = 10$ mm eingesetzt werden.
- 6) Bei Auflagerbreiten, die zwischen den aufgeführten Auflagerbreiten liegen, dürfen die aufnehmbaren Tragfähigkeitswerte jeweils linear interpoliert werden.
- 7) Effektive Trägheitsmomente für Lastrichtung nach unten (+) bzw. nach oben (-)
- 8) Maximale Stützweiten, bis zu denen die Kassettenprofiltafel ohne lastverteilende Maßnahmen begangen werden kann.
- 9) Verbindung mit der Unterkonstruktion in jedem anliegenden Gurt mit mindestens 2 Verbindungselementen.

dreischalige Dach- und Wandkonstruktion **Domico 3S 90/180**
 mit Stahlkassetten **Typ K 130 / 600**
 und Außenschale **Domitec, $t_N \geq 0,63$ mm**
 Querschnitts- und Bemessungswerte nach EN 1993-1-3

Anlage 1.4 zum Prüfbericht

Als Typenentwurf

in bautechnischer Hinsicht geprüft.

Prüfbericht – Nr. T19-065

Landesdirektion Sachsen

Landesstelle für Bautechnik

Leipzig, 01.08.2019

Stahl-Kassettenprofil in **Positivlage**
 Maße siehe Anlage 2



Leiter  Bearbeiter 

Streckgrenze des Stahlkerns $f_{y,k} = 350$ N/mm²

Abstand der Gleithalter $a_1 \leq 500$ mm

Charakteristische Werte der Widerstandsgrößen für nach unten gerichteter und andrückender Flächenlast ¹⁾

Nennblechdicke t_N [mm]	Feldmoment $M_{Rk,F}$ [kNm/m]	Endauflager $R_{Rk,A}$ [kN/m]	Elastisch aufnehmbare Schnittgrößen an Zwischenauflagern ²⁾				Reststützmomente ³⁾		
			$M^0_{Rk,B}$ [kNm/m]	$R^0_{Rk,B}$ [kN/m]	max. Stützmoment $M_{Rk,B}$ [kNm/m]	max. Zwischenauflagerkraft $R_{Rk,B}$ [kN/m]	$M_{R,k} = 0$ für $l < \min l$ $M_{R,k} = \frac{l - \min l}{\max l - \min l} \cdot \max M_{R,k}$ $M_{R,k} = \max M_{R,k}$ für $l < \max l$		
							min l [m]	max l [m]	max $M_{R,k}$ [kNm/m]
⁴⁾ $b_A + \bar{u} = 40$ mm			⁶⁾ Zwischenauflagerbreite $b_R = 160$ mm; $e = 2$						
0,75	4,14	7,61	4,20	15,9	3,81	11,5	3,30	4,23	1,91
0,88	5,65	10,3	5,66	23,3	5,08	16,4	3,11	4,05	2,76
1,00	6,89	12,1	6,32	32,5	5,91	21,1	2,34	3,35	3,56
1,13	7,83	13,7	7,18	36,7	6,72	24,1	2,34	3,35	4,04
1,25	8,68	15,3	7,97	40,8	7,45	26,7	2,34	3,35	4,49
1,50	10,5	18,4	9,62	49,2	8,99	32,2	2,34	3,35	5,41
⁴⁾⁶⁾ $b_A + \bar{u} = 40$ mm			⁶⁾ Zwischenauflagerbreite $b_R \geq 300$ mm; $e = 2$						
0,75			4,06	22,6	3,80	13,0	2,64	3,89	2,76
0,88			6,14	36,3	5,58	20,2	2,52	3,78	3,74
1,00			6,53	59,6	6,15	25,5	1,83	3,21	4,99
1,13			7,41	65,6	6,98	29,0	1,83	3,21	5,67
1,25			8,23	72,8	7,75	32,2	1,83	3,21	6,29
1,50			9,93	87,9	9,35	38,8	1,83	3,21	7,59

Maßgebende Querschnittswerte					Grenzstützweiten ⁸⁾		Charakteristische Werte der Widerstandsgrößen bei nach oben gerichteter und abhebender Flächenlast ⁹⁾					
Nennblechdicke t_N [mm]	Eigenlast g [kN/m ²]	Trägheitsmomente ⁷⁾		Querschnittsfläche A_g [cm ² /m]	I_{gr} Einfeldträger		Feldmoment $M_{Rk,F}$ [kNm/m]	Endauflager $R_{Rk,A}$ [kN/m]	Zwischenauflager ²⁾ , $e = 1$			
		$I^+_{eRk,F}$ [cm ⁴ /m]	$I^-_{eRk,F}$ [cm ⁴ /m]		während der Montage	nach der Montage			$M^0_{Rk,B}$ [kNm/m]	$R^0_{Rk,B}$ [kN/m]	$M_{Rk,B}$ [kNm/m]	$R_{Rk,B}$ [kN/m]
0,75	0,171	278	88,9	11,6	4,66	4,66	3,58	5,24	5,57	36,0	4,23	8,29
0,88	0,188	328	130	13,7	5,37	5,37	4,99	7,15	7,00	78,0	5,71	11,6
1,00	0,204	376	160	15,7	5,74	5,74	6,34	7,92	11,9	34,5	7,49	13,6
1,13	0,220	427	182	17,8	6,51	6,51	7,20	8,99	13,5	39,2	8,50	15,4
1,25	0,236	474	202	19,7	6,94	6,94	7,99	9,98	15,0	43,5	9,46	17,1
1,50	0,269	571	243	23,8	8,38	8,38	9,64	12,00	18,1	52,5	11,4	20,6

- 1) An den Stellen von Linienlasten quer zur Spannrichtung und von Einzellasten ist der Nachweis nicht mit den Feldmoment $M_{Rk,F}$ sondern mit den Stützmoment $M_{Rk,B}$ für die entgegengesetzte Lastrichtung zu führen.
- 2) M/R Interaktion: $M_{Ed} / M^0_{Rk,B} / \gamma_M + (F_{Ed} / R_{Rk,B} / \gamma_M)^2 \leq 1$
- 3) Sind keine Werte für die Reststützmomente angegeben, ist beim Tragsicherheitsnachweis $M_{R,k} = 0$ zu setzen oder für $M_{Rk,B}$ ein Nachweis mit $\gamma_M = 1,1$ nach der Elastizitätstheorie zu führen. (l = kleinere der benachbarten Stützweiten)
- 4) $b_A + \bar{u}$ = Endauflagerbreite + Profilüberstand.
- 5) Für kleinere Zwischenauflagerbreiten b_R als angegeben müssen die charakteristischen Werte der Widerstandsgrößen linear im entsprechenden Verhältnis reduziert werden. Für $b_R < 10$ mm, z.B. bei Rohren, dürfen die Werte für $b_R = 10$ mm eingesetzt werden.
- 6) Bei Auflagerbreiten, die zwischen den aufgeführten Auflagerbreiten liegen, dürfen die aufnehmbaren Tragfähigkeitswerte jeweils linear interpoliert werden.
- 7) Effektive Trägheitsmomente für Lastrichtung nach unten (+) bzw. nach oben (-)
- 8) Maximale Stützweiten, bis zu denen die Kassettenprofiltafel ohne lastverteilende Maßnahmen begangen werden kann.
- 9) Verbindung mit der Unterkonstruktion in jedem anliegenden Gurt mit mindestens 2 Verbindungselementen.

dreischalige Dach- und Wandkonstruktion **Domico 3S 180/90**
 mit Stahlkassetten **Typ K 145 / 600**
 und Außenschale **Domitec, $t_N \geq 0,63$ mm**
 Querschnitts- und Bemessungswerte nach EN 1993-1-3

Anlage 1.5 zum Prüfbericht

Als Typentwurf

in bautechnischer Hinsicht geprüft.

Prüfbericht – Nr. T19-065

Landesdirektion Sachsen

Landesstelle für Bautechnik

Leipzig, 01.08.2019

Stahl-Kassettenprofil in **Positivlage**
 Maße siehe Anlage 2



Streckgrenze des Stahlkerns $f_{y,k} = 350$ N/mm²

Abstand der Distanzprofile $a_1 \leq 1170$ mm

Charakteristische Werte der Widerstandsgrößen für nach unten gerichteter und andrückender Flächenlast ¹⁾

Nennblechdicke t_N [mm]	Feldmoment $M_{Rk,F}$ [kNm/m]	Endauflager $R_{Rk,A}$ [kN/m]	Elastisch aufnehmbare Schnittgrößen an Zwischenauflagern ²⁾				Reststützmomente ³⁾		
			$M^0_{Rk,B}$ [kNm/m]	$R^0_{Rk,B}$ [kN/m]	max. Stützmoment $M_{Rk,B}$ [kNm/m]	max. Zwischenauflagerkraft $R_{Rk,B}$ [kN/m]	$M_{R,k} = 0$ für $l < \min l$ $M_{R,k} = \frac{l - \min l}{\max l - \min l} \cdot \max M_{R,k}$ $M_{R,k} = \max M_{R,k}$ für $l < \max l$		
							min l [m]	max l [m]	max $M_{R,k}$ [kNm/m]
⁴⁾ $b_A + \ddot{u} = 40$ mm			⁵⁾ Zwischenauflagerbreite $b_R = 160$ mm; $e = 2$						
0,75	6,32	4,49	4,20	37,8	4,20	11,6	5,29	6,22	1,83
0,88	7,48	7,46	6,18	57,5	6,18	17,3	4,99	5,93	2,32
1,00	8,54	10,2	8,02	75,5	8,02	22,5	4,68	5,63	2,78
1,13	9,70	11,6	9,11	84,4	9,11	25,5	4,68	5,63	3,16
1,25	10,8	12,9	10,1	95,6	10,1	28,4	4,68	5,63	3,50
1,50	13,0	15,5	12,2	114,6	12,2	34,2	4,68	5,63	4,23
⁴⁾⁶⁾ $b_A + \ddot{u} = 40$ mm			⁶⁾ Zwischenauflagerbreite $b_R \geq 300$ mm; $e = 2$						
0,75									
0,88									
1,00									
1,13									
1,25									
1,50									

Maßgebende Querschnittswerte				Grenzstützweiten ⁸⁾		Charakteristische Werte der Widerstandsgrößen bei nach oben gerichteter und abhebender Flächenlast ⁹⁾						
Nennblechdicke t_N [mm]	Eigenlast g [kN/m ²]	Trägheitsmomente ⁷⁾		Querschnittsfläche A_g [cm ² /m]	I_{gr} Einfeldträger		Feldmoment $M_{Rk,F}$ [kNm/m]	Endauflager $R_{Rk,A}$ [kN/m]	Zwischenauflager ²⁾ , $e = 1$			
		$I^+_{eRk,F}$ [cm ⁴ /m]	$I^-_{eRk,F}$ [cm ⁴ /m]		während der Montage [m]	nach der Montage [m]			$M^0_{Rk,B}$ [kNm/m]	$R^0_{Rk,B}$ [kN/m]	$M_{Rk,B}$ [kNm/m]	$R_{Rk,B}$ [kN/m]
0,75	0,187	311					4,20	8,88	4,11	∞	4,11	10,0
0,88	0,205	368					6,18	13,5	6,08	∞	6,08	14,9
1,00	0,221	421					8,02	17,8	7,90	∞	7,90	19,4
1,13	0,239	477					10,2	21,0	10,5	∞	10,5	24,3
1,25	0,256	530					12,1	23,9	12,8	∞	12,8	28,7
1,50	0,290	640					14,5	28,7	15,5	∞	15,5	34,8

- 1) An den Stellen von Linienlasten quer zur Spannrichtung und von Einzellasten ist der Nachweis nicht mit den Feldmoment $M_{Rk,F}$ sondern mit den Stützmoment $M_{Rk,B}$ für die entgegengesetzte Lastrichtung zu führen.
- 2) M/R Interaktion: $M_{Ed} / M^0_{Rk,B} / \gamma_M + (F_{Ed} / R_{Rk,B} / \gamma_M)^0 \leq 1$
- 3) Sind keine Werte für die Reststützmomente angegeben, ist beim Tragsicherheitsnachweis $M_{R,k} = 0$ zu setzen oder für $M_{Rk,B}$ ein Nachweis mit $\gamma_M = 1,1$ nach der Elastizitätstheorie zu führen. (l = kleinere der benachbarten Stützweiten)
- 4) $b_A + \ddot{u}$ = Endauflagerbreite + Profilüberstand.
- 5) Für kleinere Zwischenauflagerbreiten b_B als angegeben müssen die charakteristischen Werte der Widerstandsgrößen linear im entsprechenden Verhältnis reduziert werden. Für $b_B < 10$ mm, z.B. bei Rohren, dürfen die Werte für $b_B = 10$ mm eingesetzt werden.
- 6) Bei Auflagerbreiten, die zwischen den aufgeführten Auflagerbreiten liegen, dürfen die aufnehmbaren Tragfähigkeitswerte jeweils linear interpoliert werden.
- 7) Effektive Trägheitsmomente für Lastrichtung nach unten (+) bzw. nach oben (-)
- 8) Maximale Stützweiten, bis zu denen die Kassettenprofiltafel ohne lastverteilende Maßnahmen begangen werden kann.
- 9) Verbindung mit der Unterkonstruktion in jedem anliegenden Gurt mit mindestens 2 Verbindungselementen.

dreischalige Dach- und Wandkonstruktion **Domico 3S 180/90**
 mit Stahlkassetten **Typ K 145 / 600**
 und Außenschale **Planum, $t_N \geq 1,00$ mm**
 Querschnitts- und Bemessungswerte nach EN 1993-1-3

Anlage 1.6 zum Prüfbericht

Als Typenentwurf

in bautechnischer Hinsicht geprüft.

Prüfbericht – Nr. T19-065

Landesdirektion Sachsen

Landesstelle für Bautechnik

Leipzig, 01.08.2019

Stahl-Kassettenprofil in **Positivlage**
 Maße siehe Anlage 2



Leiter: *[Signature]*
 Bearbeiter: *[Signature]*

Streckgrenze des Stahlkerns $f_{y,k} = 350$ N/mm²

Abstand der Distanzprofile $a_1 \leq 1170$ mm

Charakteristische Werte der Widerstandsgrößen für nach unten gerichteter und andrückender Flächenlast ¹⁾

Nennblechdicke t_N [mm]	Feldmoment $M_{Rk,F}$ [kNm/m]	Endauflager $R_{Rk,A}$ [kN/m]	Elastisch aufnehmbare Schnittgrößen an Zwischenauflagern ²⁾				Reststützmomente ³⁾		
			$M^0_{Rk,B}$ [kNm/m]	$R^0_{Rk,B}$ [kN/m]	max. Stützmoment $M_{Rk,B}$ [kNm/m]	max. Zwischenauflagerkraft $R_{Rk,B}$ [kN/m]	$M_{R,k} = 0$ für $l < \min l$ $M_{R,k} = \frac{l - \min l}{\max l - \min l} \cdot \max M_{R,k}$ $M_{R,k} = \max M_{R,k}$ für $l < \max l$		
							min l [m]	max l [m]	max $M_{R,k}$ [kNm/m]
⁴⁾ $b_A + \bar{u} = 40$ mm			⁶⁾ Zwischenauflagerbreite $b_R = 160$ mm; $e = 2$						
0,75	6,32	4,49	4,20	37,8	4,20	11,6	5,29	6,22	1,83
0,88	7,48	7,46	6,18	57,5	6,18	17,3	4,99	5,93	2,32
1,00	8,54	10,2	8,02	75,5	8,02	22,5	4,68	5,63	2,78
1,13	9,70	11,6	9,11	84,4	9,11	25,5	4,68	5,63	3,16
1,25	10,8	12,9	10,1	95,6	10,1	28,4	4,68	5,63	3,50
1,50	13,0	15,5	12,2	114,6	12,2	34,2	4,68	5,63	4,23
⁴⁾⁶⁾ $b_A + \bar{u} = 40$ mm			⁶⁾ Zwischenauflagerbreite $b_R \geq 300$ mm; $e = 2$						
0,75									
0,88									
1,00									
1,13									
1,25									
1,50									

Maßgebende Querschnittswerte				Grenzstützweiten ⁸⁾		Charakteristische Werte der Widerstandsgrößen bei nach oben gerichteter und abhebender Flächenlast ⁹⁾						
Nennblechdicke t_N [mm]	Eigenlast g [kN/m ²]	Trägheitsmomente ⁷⁾		Querschnittsfläche A_g [cm ² /m]	l_{gr} Einfeldträger		Feldmoment $M_{Rk,F}$ [kNm/m]	Endauflager $R_{Rk,A}$ [kN/m]	Zwischenauflager ²⁾ , $e = 1$			
		$I^+_{eRk,F}$ [cm ⁴ /m]	$I^-_{eRk,F}$ [cm ⁴ /m]		während der Montage [m]	nach der Montage [m]			$M^0_{Rk,B}$ [kNm/m]	$R^0_{Rk,B}$ [kN/m]	$M_{Rk,B}$ [kNm/m]	$R_{Rk,B}$ [kN/m]
0,75	0,187	311					4,20	8,88	4,11	∞	4,11	10,0
0,88	0,205	368					6,18	13,5	6,08	∞	6,08	14,9
1,00	0,221	421					8,02	17,8	7,90	∞	7,90	19,4
1,13	0,239	477					10,2	21,0	10,5	∞	10,5	24,3
1,25	0,256	530					12,1	23,9	12,8	∞	12,8	28,7
1,50	0,290	640					14,5	28,7	15,5	∞	15,5	34,8

- An den Stellen von Linienlasten quer zur Spannrichtung und von Einzellasten ist der Nachweis nicht mit den Feldmoment $M_{Rk,F}$ sondern mit den Stützmoment $M_{Rk,B}$ für die entgegengesetzte Lastrichtung zu führen.
- M/R Interaktion: $M_{Ed} / M^0_{Rk,B} / \gamma_M + (F_{Ed} / R_{Rk,B} / \gamma_M)^0 \leq 1$
- Sind keine Werte für die Reststützmomente angegeben, ist beim Tragsicherheitsnachweis $M_{R,k} = 0$ zu setzen oder für $M_{Rk,B}$ ein Nachweis mit $\gamma_M = 1,1$ nach der Elastizitätstheorie zu führen. (l = kleinere der benachbarten Stützweiten)
- $b_A + \bar{u}$ = Endauflagerbreite + Profilüberstand.
- Für kleinere Zwischenauflagerbreiten b_B als angegeben müssen die charakteristischen Werte der Widerstandsgrößen linear im entsprechenden Verhältnis reduziert werden. Für $b_B < 10$ mm, z.B. bei Rohren, dürfen die Werte für $b_B = 10$ mm eingesetzt werden.
- Bei Auflagerbreiten, die zwischen den aufgeführten Auflagerbreiten liegen, dürfen die aufnehmbaren Tragfähigkeitswerte jeweils linear interpoliert werden.
- Effektive Trägheitsmomente für Lastrichtung nach unten (+) bzw. nach oben (-)
- Maximale Stützweiten, bis zu denen die Kassettenprofiltafel ohne lastverteilende Maßnahmen begangen werden kann.
- Verbindung mit der Unterkonstruktion in jedem anliegenden Gurt mit mindestens 2 Verbindungselementen.

dreischalige Dach- und Wandkonstruktion **Domico 3S 90/45**
 mit Stahlkassetten **Typ K 145 / 600**
 und Außenschale **Domitec, $t_N \geq 0,63$ mm**
 Querschnitts- und Bemessungswerte nach EN 1993-1-3

Anlage 1.7 zum Prüfbericht

Als Typentwurf

in bautechnischer Hinsicht geprüft.

Prüfbericht – Nr. T19-065

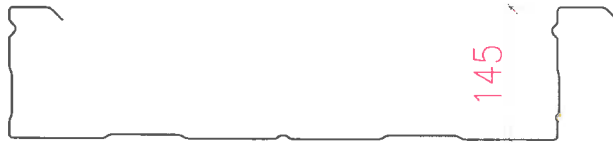
Landesdirektion Sachsen

Landesstelle für Bautechnik

Leipzig, 04.08.2019

Stahl-Kassettenprofil in
 Maße siehe Anlage 2

Positivlage



FREISTAAT
 SACHSEN

Leiter Bearbeiter

Streckgrenze des Stahlkerns $f_{y,k} = 350 \text{ N/mm}^2$

Abstand der Distanzprofile $a_1 \leq 1500 \text{ mm}$

Charakteristische Werte der Widerstandsgrößen für nach unten gerichteter und andrückender Flächenlast ¹⁾

Nennblechdicke t_N [mm]	Feldmoment $M_{Rk,F}$ [kNm/m]	Endauflager $R_{Rk,A}$ [kN/m]	Elastisch aufnehmbare Schnittgrößen an Zwischenauflagern ²⁾				Reststützmomente ³⁾		
			$M^0_{Rk,B}$ [kNm/m]	$R^0_{Rk,B}$ [kN/m]	max. Stützmoment $M_{Rk,B}$ [kNm/m]	max. Zwischenauflagerkraft $R_{Rk,B}$ [kN/m]	$M_{R,k} = 0$ für $l < \min l$ $M_{R,k} = \frac{l - \min l}{\max l - \min l} \cdot \max M_{R,k}$ $M_{R,k} = \max M_{R,k}$ für $l < \max l$		
							min l [m]	max l [m]	max $M_{R,k}$ [kNm/m]
4) $b_A + \ddot{u} = 40 \text{ mm}$			6) Zwischenauflegerbreite $b_R = 160 \text{ mm}$; $e = 2$						
0,75	4,23	4,49	4,20	37,8	4,20	11,6	5,29	6,22	1,22
0,88	5,00	7,46	6,18	57,5	6,18	17,3	4,99	5,93	1,55
1,00	5,72	10,2	8,02	75,5	8,02	22,5	4,68	5,63	1,86
1,13	6,49	11,6	9,11	84,4	9,11	25,5	4,68	5,63	2,11
1,25	7,21	12,9	10,1	95,6	10,1	28,4	4,68	5,63	2,34
1,50	8,70	15,5	12,2	114,6	12,2	34,2	4,68	5,63	2,83
4) 6) $b_A + \ddot{u} = 40 \text{ mm}$			6) Zwischenauflegerbreite $b_R \geq 300 \text{ mm}$; $e = 2$						
0,75									
0,88									
1,00									
1,13									
1,25									
1,50									

Maßgebende Querschnittswerte				Grenzstützweiten ⁸⁾		Charakteristische Werte der Widerstandsgrößen bei nach oben gerichteter und abhebender Flächenlast ⁹⁾						
Nennblechdicke t_N [mm]	Eigenlast g [kN/m ²]	Trägheitsmomente ⁷⁾		Querschnittsfläche A_g [cm ² /m]	l_{gr} Einfeldträger		Feldmoment $M_{Rk,F}$ [kNm/m]	Endauflager $R_{Rk,A}$ [kN/m]	Zwischenaufleger ²⁾ , $e = 1$			
		$I^+_{eRk,F}$ [cm ⁴ /m]	$I^-_{eRk,F}$ [cm ⁴ /m]		während der Montage [m]	nach der Montage [m]			$M^0_{Rk,B}$ [kNm/m]	$R^0_{Rk,B}$ [kN/m]	$M_{Rk,B}$ [kNm/m]	$R_{Rk,B}$ [kN/m]
0,75	0,187	284					4,20	8,88	3,79	∞	3,79	9,22
0,88	0,205	336					6,18	13,5	5,60	∞	5,60	13,7
1,00	0,221	384					8,02	17,8	7,28	∞	7,28	17,9
1,13	0,239	436					10,2	21,0	9,68	∞	9,68	22,4
1,25	0,256	484					12,1	23,9	11,8	∞	11,8	26,4
1,50	0,290	584					14,5	28,7	14,3	∞	14,3	32,1

- An den Stellen von Linienlasten quer zur Spannrichtung und von Einzellasten ist der Nachweis nicht mit den Feldmoment $M_{Rk,F}$ sondern mit den Stützmoment $M_{Rk,B}$ für die entgegengesetzte Lastrichtung zu führen.
- M/R Interaktion: $M_{Ed} / M^0_{Rk,B} / \gamma_M + (F_{Ed} / R_{Rk,B} / \gamma_M)^0 \leq 1$
- Sind keine Werte für die Reststützmomente angegeben, ist beim Tragsicherheitsnachweis $M_{R,k} = 0$ zu setzen oder für $M_{Rk,B}$ ein Nachweis mit $\gamma_M = 1,1$ nach der Elastizitätstheorie zu führen. ($l =$ kleinere der benachbarten Stützweiten)
- $b_A + \ddot{u} =$ Endauflagerbreite + Profilüberstand.
- Für kleinere Zwischenauflegerbreiten b_B als angegeben müssen die charakteristischen Werte der Widerstandsgrößen linear im entsprechenden Verhältnis reduziert werden. Für $b_B < 10 \text{ mm}$, z.B. bei Rohren, dürfen die Werte für $b_B = 10 \text{ mm}$ eingesetzt werden.
- Bei Auflagerbreiten, die zwischen den aufgeführten Auflagerbreiten liegen, dürfen die aufnehmbaren Tragfähigkeitswerte jeweils linear interpoliert werden.
- Effektive Trägheitsmomente für Lastrichtung nach unten (+) bzw. nach oben (-)
- Maximale Stützweiten, bis zu denen die Kassettenprofiltafel ohne lastverteilende Maßnahmen begangen werden kann.
- Verbindung mit der Unterkonstruktion in jedem anliegenden Gurt mit mindestens 2 Verbindungselementen.

dreischalige Dach- und Wandkonstruktion **Domico 3S 90/180**
 mit Stahlkassetten **Typ K 145 / 600**
 und Außenschale **Domitec, $t_N \geq 0,63$ mm**
 Querschnitts- und Bemessungswerte nach EN 1993-1-3

Anlage 1.8 zum Prüfbericht

Als Typenentwurf

in bautechnischer Hinsicht geprüft.

Prüfbericht – Nr. T19-065

Landesdirektion Sachsen

Landesstelle für Bautechnik

Leipzig, 01.08.2019

FREISTAAT
SACHSEN

Leiter  Bearbeiter 

Stahl-Kassettenprofil in **Positivlage**
 Maße siehe Anlage 2



Streckgrenze des Stahlkerns $f_{y,k} = 350$ N/mm²

Abstand der Gleithafter $a_1 \leq 500$ mm

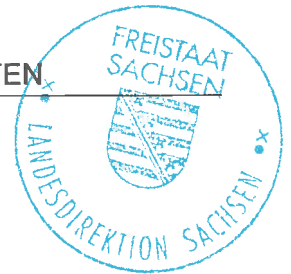
Charakteristische Werte der Widerstandsgrößen für nach unten gerichteter und andrückender Flächenlast ¹⁾

Nennblechdicke t_N [mm]	Feldmoment $M_{Rk,F}$ [kNm/m]	Endauflager $R_{Rk,A}$ [kN/m]	Elastisch aufnehmbare Schnittgrößen an Zwischenauflagern ²⁾				Reststützmomente ³⁾			
			$M_{Rk,B}^0$ [kNm/m]	$R_{Rk,B}^0$ [kN/m]	max. Stützmoment $M_{Rk,B}$ [kNm/m]	max. Zwischenauflagerkraft $R_{Rk,B}$ [kN/m]	$M_{R,k} = 0$ für $l < \min l$ $M_{R,k} = \frac{l - \min l}{\max l - \min l} \cdot \max M_{R,k}$ $M_{R,k} = \max M_{R,k}$ für $l < \max l$			
							min l [m]	max l [m]	max $M_{R,k}$ [kNm/m]	
4) $b_A + \ddot{u} = 40$ mm			5) Zwischenauflegerbreite $b_R = 160$ mm; $e = 2$							
0,75	4,19	4,49	4,20	37,8	4,20	11,6	5,29	6,22	1,21	
0,88	4,96	7,46	6,18	57,5	6,18	17,3	4,99	5,93	1,55	
1,00	5,67	10,2	8,02	75,5	8,02	22,5	4,68	5,63	1,84	
1,13	6,43	11,6	9,11	84,4	9,11	25,5	4,68	5,63	2,09	
1,25	7,14	12,9	10,1	95,6	10,1	28,4	4,68	5,63	2,32	
1,50	8,62	15,5	12,2	114,6	12,2	34,2	4,68	5,63	2,80	
4) 6) $b_A + \ddot{u} = 40$ mm			5) Zwischenauflegerbreite $b_R \geq 300$ mm; $e = 2$							
0,75										
0,88										
1,00										
1,13										
1,25										
1,50										

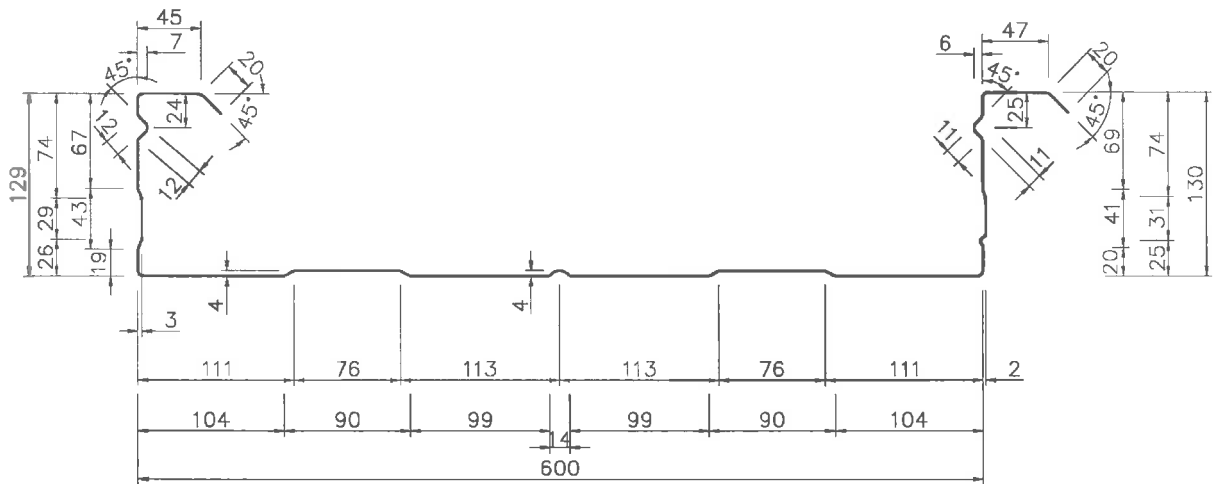
Maßgebende Querschnittswerte				Grenzstützweiten ⁸⁾		Charakteristische Werte der Widerstandsgrößen bei nach oben gerichteter und abhebender Flächenlast ⁹⁾						
Nennblechdicke t_N [mm]	Eigenlast g [kN/m ²]	Trägheitsmomente ⁷⁾		Querschnittsfläche A_g [cm ² /m]	l_{gr} Einfeldträger		Feldmoment $M_{Rk,F}$ [kNm/m]	Endauflager $R_{Rk,A}$ [kN/m]	Zwischenaufleger ²⁾ , $e = 1$			
		$I_{eRk,F}^+$ [cm ⁴ /m]	$I_{eRk,F}^-$ [cm ⁴ /m]		während der Montage [m]	nach der Montage [m]			$M_{Rk,B}^0$ [kNm/m]	$R_{Rk,B}^0$ [kN/m]	$M_{Rk,B}$ [kNm/m]	$R_{Rk,B}$ [kN/m]
0,75	0,187	254					4,20	8,88	3,75	∞	3,75	9,13
0,88	0,205	300					6,18	13,5	5,55	∞	5,55	13,6
1,00	0,221	343					8,02	17,8	7,21	∞	7,21	17,7
1,13	0,239	390					10,2	21,0	9,58	∞	9,58	22,2
1,25	0,256	433					12,1	23,9	11,7	∞	11,7	26,2
1,50	0,290	522					14,5	28,7	14,1	∞	14,1	31,8

- An den Stellen von Linienlasten quer zur Spannrichtung und von Einzellasten ist der Nachweis nicht mit den Feldmoment $M_{Rk,F}$ sondern mit den Stützmoment $M_{Rk,B}$ für die entgegengesetzte Lastrichtung zu führen.
- M/R Interaktion: $M_{Ed} / M_{Rk,B}^0 / \gamma_M + (F_{Ed} / R_{Rk,B} / \gamma_M)^0 \leq 1$
- Sind keine Werte für die Reststützmomente angegeben, ist beim Tragsicherheitsnachweis $M_{R,k} = 0$ zu setzen oder für $M_{Rk,B}$ ein Nachweis mit $\gamma_M = 1,1$ nach der Elastizitätstheorie zu führen. ($l =$ kleinere der benachbarten Stützweiten)
- $b_A + \ddot{u} =$ Endauflagerbreite + Profilüberstand.
- Für kleinere Zwischenauflegerbreiten b_R als angegeben müssen die charakteristischen Werte der Widerstandsgrößen linear im entsprechenden Verhältnis reduziert werden. Für $b_R < 10$ mm, z.B. bei Rohren, dürfen die Werte für $b_R = 10$ mm eingesetzt werden.
- Bei Auflagerbreiten, die zwischen den aufgeführten Auflagerbreiten liegen, dürfen die aufnehmbaren Tragfähigkeitswerte jeweils linear interpoliert werden.
- Effektive Trägheitsmomente für Lastrichtung nach unten (+) bzw. nach oben (-)
- Maximale Stützweiten, bis zu denen die Kassettenprofiltafel ohne lastverteilende Maßnahmen begangen werden kann.
- Verbindung mit der Unterkonstruktion in jedem anliegenden Gurt mit mindestens 2 Verbindungselementen.

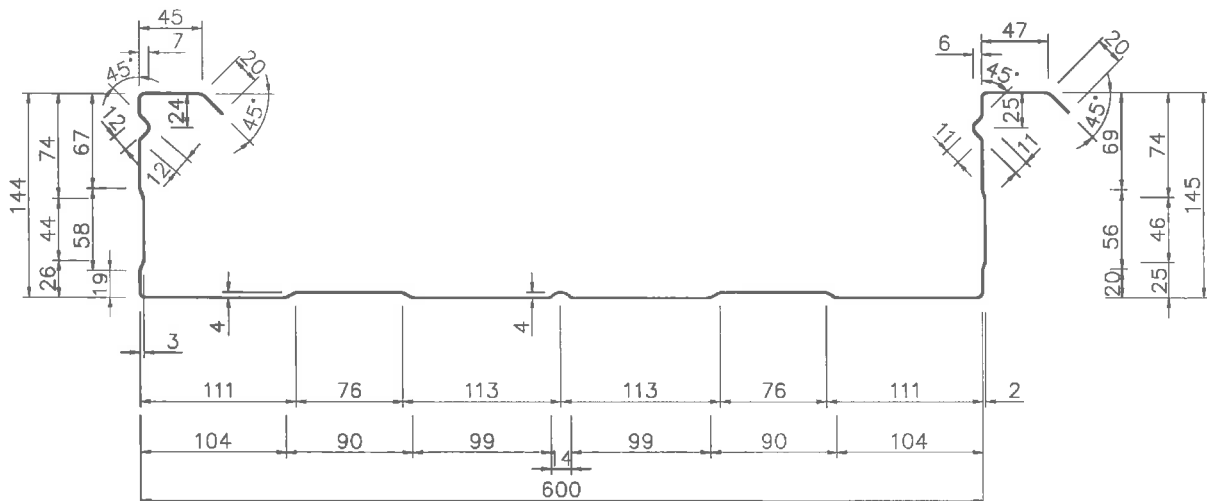
ANLAGE 2 QUERSCHNITTSGEOMETRIE DER DOMICO KASSETTEN



Domico Stahlkassette – 130 / 600



Domico Stahlkassette – 145 / 600

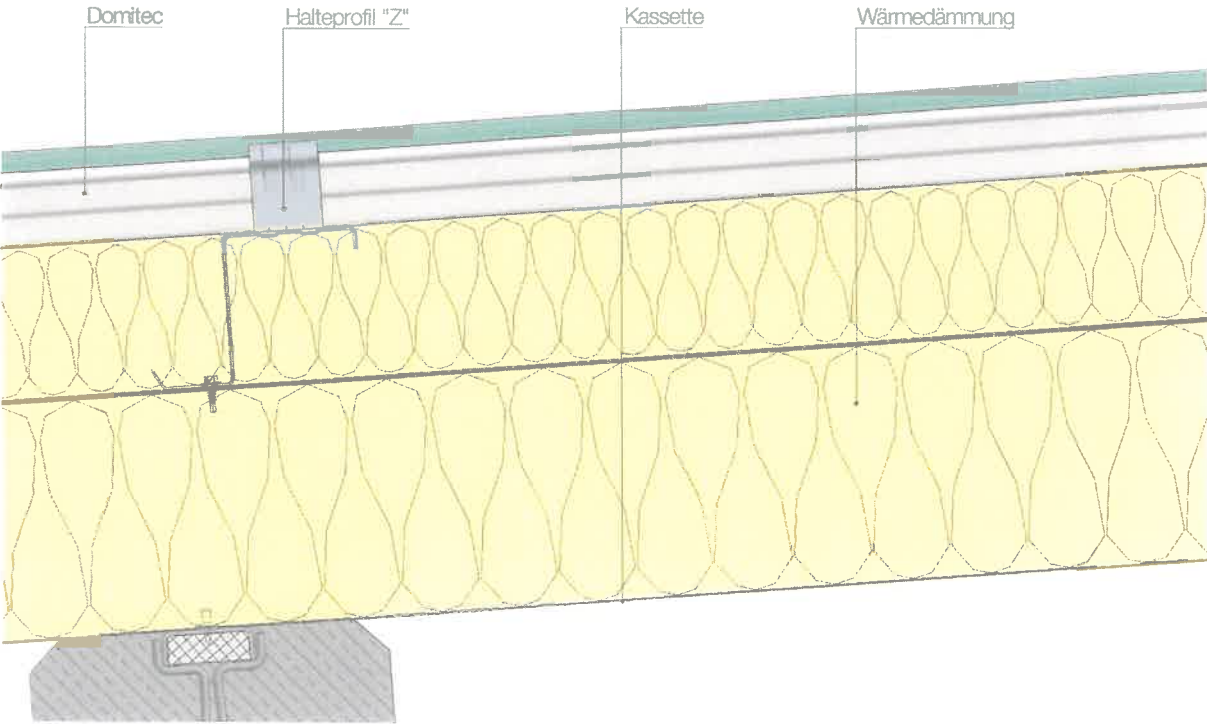
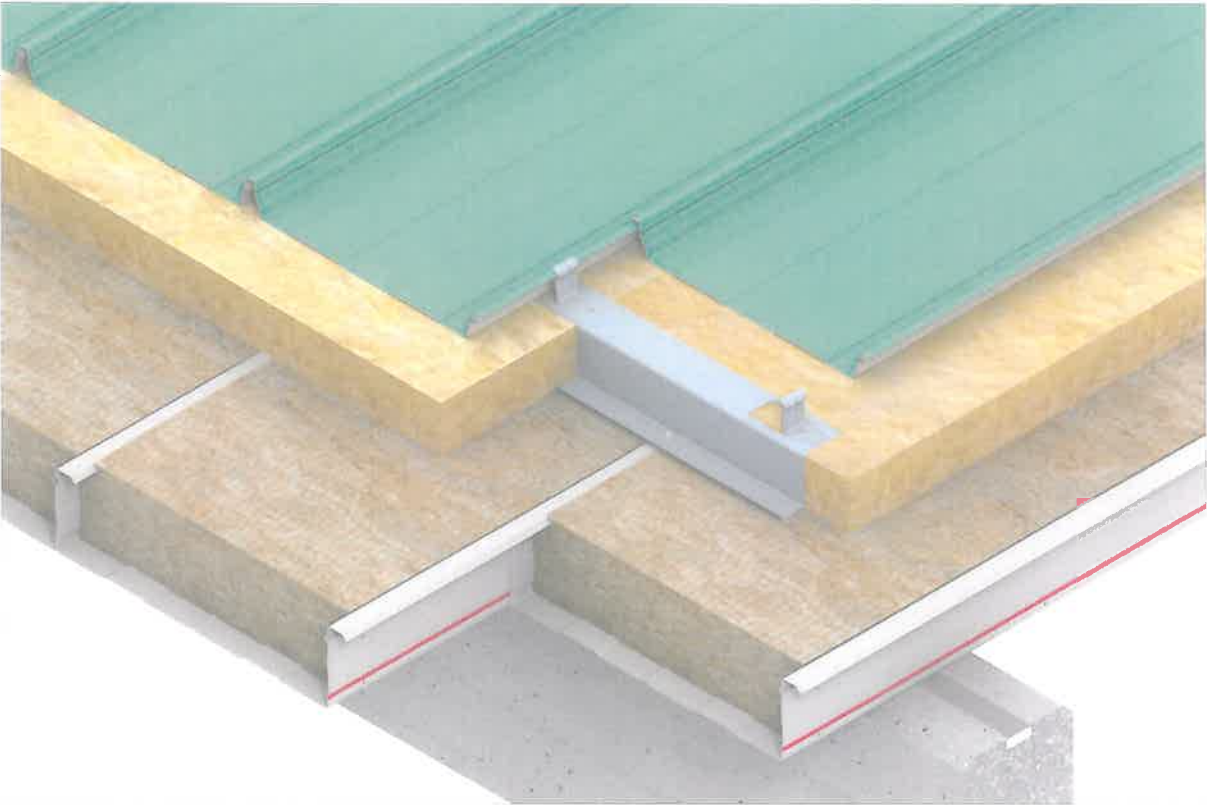


**ANLAGE 3 DARSTELLUNG DES DREISCHALIGEN DACH- UND WANDAUFBAU
DOMICO 3S 180/90**



Domitec-Dach

Zweischaliger wärmegeprägter nichtbelüfteter Dachaufbau auf Betonpfetten mit Kassetten-Unterschale – Halteprofil "Z"

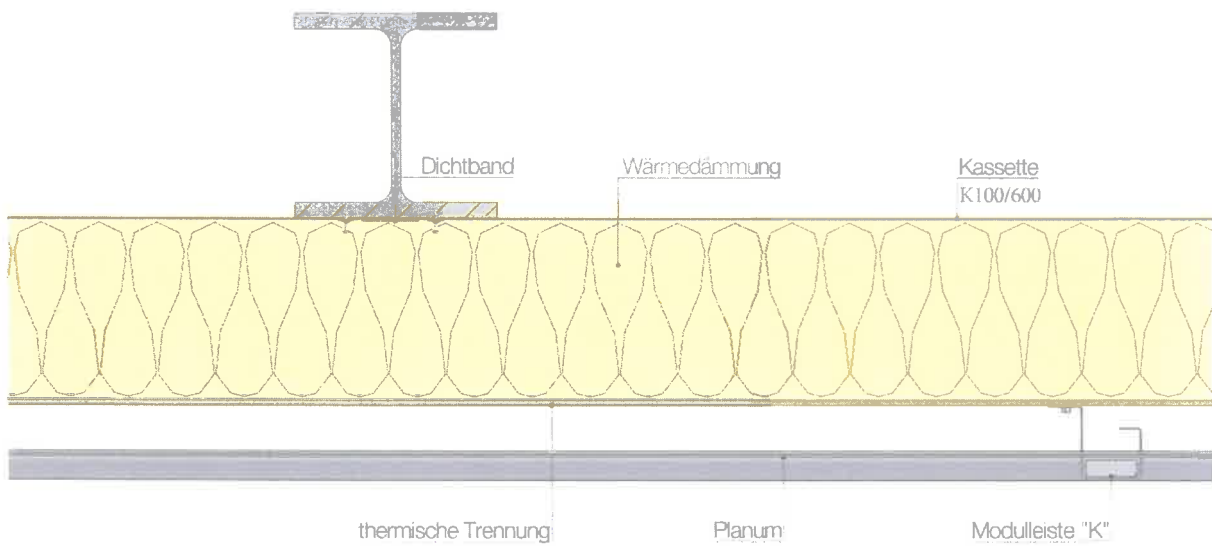


ANLAGE 4 DARSTELLUNG DES DREISCHALIGEN DACH- UND WANDAUFBAU DOMICO 3S 180/90



Planum-Fassade

Hinterlüftete Fassade
waagrecht auf Kassette-Innenschale

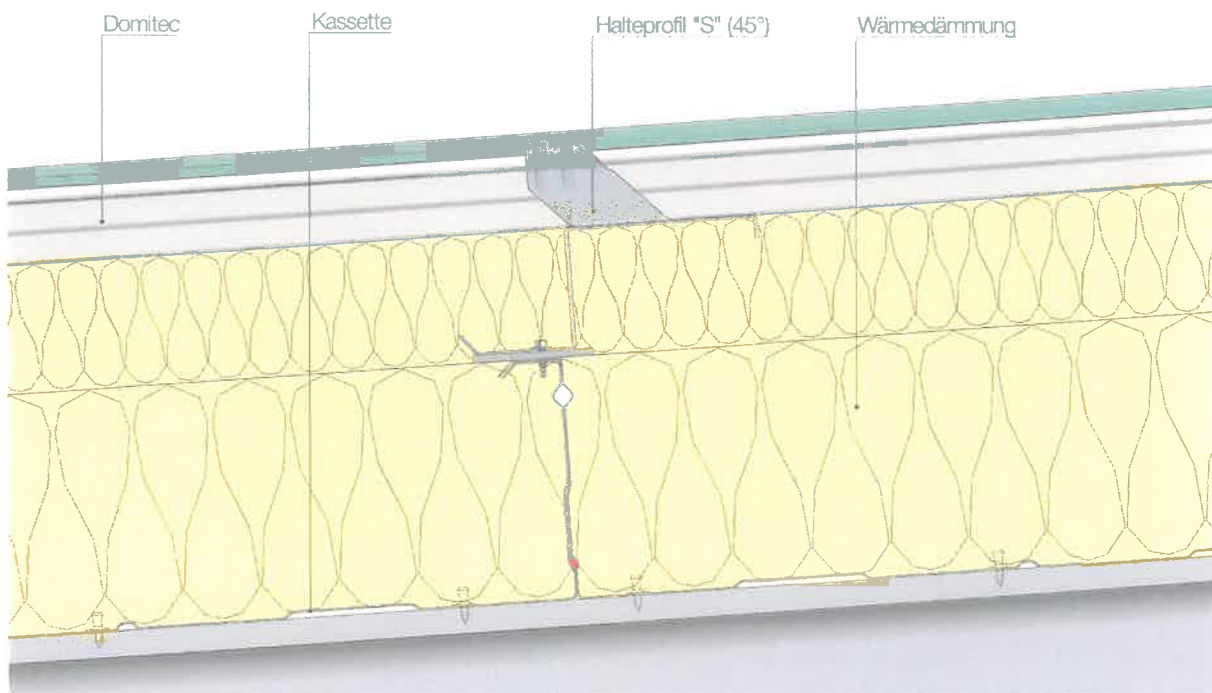
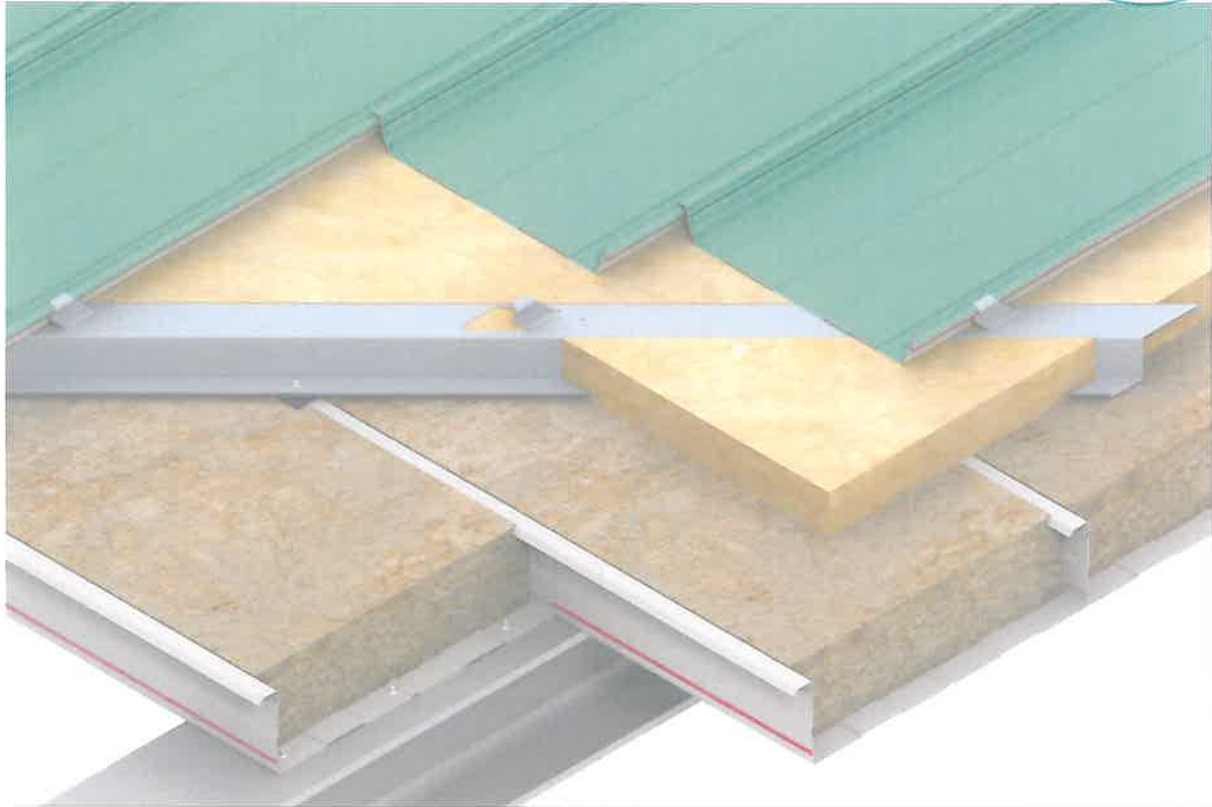


ANLAGE 5 DARSTELLUNG DES DREISCHALIGEN DACH- UND WANDAUFBAU DOMICO 3S 90/45



Domitec-Dach

Zweischaliger wärmegeprägter nichtbelüfteter Dachaufbau
auf Stahlbinder mit Kassetten-Unterschaie – Halteprofil "S" 45°



ANLAGE 6 DARSTELLUNG DES DREISCHALIGEN DACH- UND WANDAUFBAU DOMICO 3S 90/180



Domitec-Dach

Zweischaliger wärmegeämmteter nichtbelüfteter Dachaufbau
auf Fachwerkpinder aus Stahl mit Kassetten-Unterschale – Halteprofil "U" mit integrierter thermischer Trennung

